

УДК 621.9.06

Ю. А. Раисов, д-р техн. наук**И. В. Бычков**, д-р техн. наук**Н. И. Бычков**Институт проблем машиностроения им. А. Н. Подгорного НАН Украины
(г. Харьков, e-mail: forma54@mail.ru)

СПЛАЙН-АППРОКСИМАЦИЯ С СОПРЯЖЕНИЕМ КРИВЫХ ПО ПРОИЗВОДНЫМ

Предложена методика кубической B-сплайн аппроксимации точно заданных кривых, позволяющая выполнить сопряжение сплайнов по 1-й и 2-й производным, что весьма важно при аппроксимации больших массивов, часто встречающихся в практике числового программного управления (ЧПУ). Работоспособность метода проиллюстрирована примерами.

Запропоновано методику кубічної B-сплайн апроксимації точно заданих кривих, яка дозволяє виконати спряження сплайнів за першою та другою похідними, що дуже важливо при апроксимації великих масивів, що часто зустрічаються в практиці числового програмного керування (ЧПК). Працездатність методу проілюстрована прикладами.

Введение

Задача аппроксимации с сопряжением B-сплайн кривых часто встречается в практике числового программного управления (ЧПУ). Как известно, до недавнего времени большинство устройств ЧПУ имело возможность задавать перемещение только по линейным и круговым траекториям. Поэтому управляющие программы (УП) для обработки сложных объектов рассчитывается путём кусочно-линейной аппроксимации исходных кривых. В результате УП содержит огромное число кадров линейного перемещения на малые величины в каждом из них, что практически исключает применение высокоскоростной обработки, которая в настоящее время всё больше входит в практику машиностроения.

Внедрение в ЧПУ сплайн-кривых позволяет решить задачу модификации УП, содержащих большое число линейных кадров, путём сплайн-аппроксимации или сплайн-интерполяции. Сплайн-интерполяция применяется при относительно небольшом числе линейных участков (~20÷30) и уже используется в системах ЧПУ [1–3]. Управляющие программы ЧПУ, в частности в авиастроении могут содержать сотни и тысячи кадров, и для их модификации использование сплайн-аппроксимации может оказаться более эффективным. Однако алгоритмы сплайн-аппроксимации намного сложнее алгоритмов сплайн-интерполяции и требуют большей вычислительной мощности для реализации. Практика показала, что с ростом числа узлов сплайна время счёта при аппроксимации увеличивается в степенной зависимости, что далеко не всегда приемлемо в ЧПУ. К тому же, при предварительной обработке массивов кадров нередко возникают ситуации, когда отдельные кадры УП надо оставить без изменения. Тогда возникает необходимость иметь несколько сплайн-кривых, сопряжённых между собой, в том числе и по производным. При сопряжении кривых по первой и второй производным сохраняется C^2 -непрерывность сопрягаемых кривых, что обеспечит отсутствие скачков по скорости и ускорению в точке сопряжения в процессе обработки на станке с ЧПУ.

Основная часть

Алгоритм сопряжения по первым производным можно построить, используя общий метод B-сплайн интерполяции с заданием первой производной в начальной и конечной точ-

ках исходного массива [4]. Для построения алгоритма сопряжения по вторым производным требуется дополнительная разработка, что и сделано в настоящей статье.

Ниже рассмотрен метод B -сплайн аппроксимации, позволяющий выполнить сопряжение сплайновых кривых третьей степени по первой и второй производным. Алгоритм основан на использовании общего метода B -сплайн аппроксимации, к которому выполнены необходимые дополнения.

Пусть задан массив точек $\{\bar{Q}_k\}$, $k = 0, 1, \dots, m$, выбраны допустимая точность аппроксимации δ , степень аппроксимирующей кривой p и число контрольных точек $(n + 1)$ первой итерации. Считаем, что $p > 1$, $n \geq p$, $n < m$.

Требуется найти B -сплайн кривую

$$\bar{C}(U) = \sum_{i=0}^n N_{i,p}(U) \bar{P}_i, \quad U \in [0,1], \quad (1)$$

удовлетворяющую условиям

$$\bar{Q}_0 = \bar{C}(0), \quad \bar{Q}_m = \bar{C}(1), \quad (2)$$

$$\sum_{k=1}^{m-1} |\bar{Q}_k - \bar{C}(U_k)|^2 = \min. \quad (3)$$

В общем случае кривая $\bar{C}(U)$ не проходит через точки \bar{Q}_k и ее точки $\bar{C}(U_k)$ не являются ближайшими к точкам \bar{Q}_k .

Для построения кривой $\bar{C}(U)$ требуется найти узловой вектор

$$U = \left\{ \underbrace{0, 0, \dots, 0}_{p+1}, U_p, \dots, U_n, \underbrace{1, 1, \dots, 1}_{p+1} \right\},$$

определить ненулевые базисные функции $N_{i,p}(U)$ и, используя критерий наименьших квадратов (3), составить систему уравнений, связывающих известные точки \bar{Q}_k с неизвестными точками контрольного полигона P_i . В результате решения системы уравнений будут найдены точки $\{P_i\}$, $i = 1, 2, \dots, m - 1$ (точки P_0, P_n определены условием (2)).

Далее следует определить отклонения

$$\varepsilon_k = |\bar{Q}_k - \bar{C}(U_k)|, \quad k = 1, 2, \dots, m - 1$$

и проверить условие

$$\varepsilon_k \leq \delta. \quad (4)$$

Если условие (4) не выполняется, следует увеличить число контрольных точек n и выполнить очередную итерацию. Если же все $\varepsilon_k \leq \delta$, можно уменьшить число контрольных точек и выполнить очередную итерацию. Окончание итерационного процесса может быть обусловлено различными правилами, в том числе и получением оптимального числа точек полигона.

Алгоритм решения задачи в пределах одной итерации включает следующие шаги.

1. Расчёт параметров \bar{U}_k . Используется метод хорд

$$\bar{U}_0 = 0; \quad \bar{U}_k = \bar{U}_{k-1} + \frac{|\bar{Q}_k - \bar{Q}_{k-1}|}{d}; \quad \bar{U}_n = 1; \quad k = 1, 2, \dots, n - 1,$$

$$d = \sum_{k=1}^n |\bar{Q}_k - \bar{Q}_{k-1}|. \quad (5)$$

2. Расчёт внутренних узлов узлового вектора. Вводится вспомогательный параметр h .

$$h = \frac{m+1}{n-p+1} \quad (6)$$

и далее, внутренний узел

$$U_{j+p} = (1-\alpha_j)\bar{U}_{i-1} + \alpha_j\bar{U}_i, \quad j=1,2,\dots,n-p,$$

$$i = \text{int}(jh), \quad \alpha_j = jh - i.$$

3. Вычисляются значения базисных функций

$$N_{i,p}(\bar{U}_k), \quad i=0,1,\dots,n, \quad k=0,1,\dots,m$$

по формулам

$$N_{i,0}(U) = \begin{cases} 1, & U_i \leq U < U_{i+1} \\ 0, & \text{вне интервала} \end{cases}$$

$$N_{i,p}(U) = \frac{U-U_i}{U_{i+p}-U_i} N_{i,p-1}(U) + \frac{U_{i+p+1}-U}{U_{i+p+1}-U_{i+1}} N_{i+1,p-1}(U).$$

4. Вычисляются вспомогательные векторы \bar{R}_k , введение которых обусловлено процессом оптимизации по критерию (3)

$$\bar{R}_k = \bar{Q}_k - N_{0,p}(\bar{U}_k)\bar{Q}_0 - N_{n,p}(\bar{U}_k)\bar{Q}_m, \quad k=1,\dots,m-1.$$

Тогда

$$\bar{Q}_k - \bar{C}(\bar{U}_k) = \bar{Q}_k - \sum_{i=0}^n N_{i,p}(\bar{U}_k)\bar{P}_i = \bar{R}_k - \sum_{i=0}^{n-1} N_{i,p}(\bar{U}_k)\bar{P}_i.$$

Обозначив

$$f = \sum_{k=1}^m |\bar{Q}_k - \bar{C}(\bar{U}_k)|^2$$

и учитывая, что минимум f достигается при $\frac{\partial f}{\partial l} = 0$, $l=1, 2, \dots, n-1$, после преобразований получим

$$\sum_{i=1}^{n-1} \left(\sum_{k=1}^{m-1} N_{l,p}(\bar{U}_k) N_{i,p}(\bar{U}_k) \right) \bar{P}_i = \sum_{k=1}^{m-1} N_{l,p}(\bar{U}_k) \bar{R}_k.$$

5. Придавая l значения от 1 до $n-1$, имеем систему уравнений

$$\begin{pmatrix} \bar{P}_1 \\ \bar{P}_2 \\ \vdots \\ \bar{P}_{n-1} \end{pmatrix} \times \begin{pmatrix} A_{11} & A_{12} & \dots & A_{1,n-1} \\ A_{21} & A_{22} & \dots & A_{2,n-1} \\ \vdots & \vdots & \ddots & \vdots \\ A_{n-1,1} & A_{n-1,2} & \dots & A_{n-1,n-1} \end{pmatrix} = \begin{pmatrix} \bar{B}_1 \\ \bar{B}_2 \\ \vdots \\ \bar{B}_{n-1} \end{pmatrix}, \quad (7)$$

где

$$A_{l,i} = \sum_{k=1}^{m-1} N_{l,p}(\bar{U}_k) N_{i,p}(\bar{U}_k), \quad \bar{B}_l = \sum_{k=1}^{m-1} N_{l,p}(\bar{U}_k) \bar{R}_k,$$

$$l=1,\dots,n-1, \quad i=1,\dots,n-1,$$

l – номер строки, i – номер столбца, он же индекс вектора \bar{R}_k

Решение системы (7) даёт значения координат контрольных точек $\bar{P}_1, \dots, \bar{P}_{n-1}$, которые в совокупности с векторами $\bar{P}_0 = \bar{Q}_0$ и $\bar{P}_n = \bar{Q}_m$ образуют контрольный полигон.

6. Вычисляются значения координат точек $C(\bar{U}_k)$ в соответствии с (1)

$$\bar{C}(\bar{U}_k) = \sum_{i=0}^n N_{i,p}(\bar{U}_k) \bar{P}_i, \quad k = 1, \dots, m-1.$$

7. Вычисляются отклонения $C(\bar{U}_k)$ от точек \bar{Q}_k

$$\varepsilon_k = \left| \bar{Q}_k - \bar{C}(\bar{U}_k) \right|$$

и проверяется условие (4).

По результатам сравнения принимается решение о продолжении или прекращении итераций.

Теперь покажем, какие изменения и дополнения вводятся в описанный алгоритм, если требуется сопряжение сплайнов по производным. Решение задачи будет выполнено применительно к кубическим B -сплайнам, наиболее часто используемым в практике ЧПУ.

Пусть заданный исходный массив точек $\{\bar{Q}_k\}$ по причинам, изложенным выше, разбит на ряд секций, для каждой из которых требуется найти аппроксимирующую кубическую B -сплайн кривую.

Для первой секции по рассмотренному выше алгоритму находим аппроксимирующую B -сплайн кривую $\bar{C}_1(U) = \sum_{i=0}^{n_1} N_{i,3}(U) \bar{P}_i$ (n_1 – число контрольных точек, $N_{i,3}(U)$ – базисные функции 3-й степени для B -сплайн кривой первой секции).

Теперь следует найти значения производных в конечной точке 1-й секции с тем, чтобы присвоить их значения производным в этой же точке, но принадлежащей начальной точке 2-й секции. Это нетрудно сделать, если сегменты B -сплайна представлены в виде многочленов, как это показано в [5]. Тогда для последнего сегмента первой секции будем иметь

$$\begin{aligned} X(U) &= A_X^{(n_1)} U^3 + B_X^{(n_1)} U^2 + C_X^{(n_1)} U + D_X^{(n_1)}, \\ Y(U) &= A_Y^{(n_1)} U^3 + B_Y^{(n_1)} U^2 + C_Y^{(n_1)} U + D_Y^{(n_1)}, \quad U \in (U_{n_1}, 1), \end{aligned} \quad (8)$$

n_1 – индекс последнего сегмента первой секции.

Взяв производную по параметру U от (8) и учитывая, что в конечной точке сплайна 1-й секции $U = 1$. получим

$$\begin{aligned} X'(1) &= 3A_X^{(n_1)} + 2B_X^{(n_1)} + C_X^{(n_1)}, \\ X''(1) &= 6A_X^{(n_1)} + 2B_X^{(n_1)}, \\ X'''(1) &= 6A_X^{(n_1)}, \\ Y'(1) &= 3A_Y^{(n_1)} + 2B_Y^{(n_1)} + C_Y^{(n_1)}, \\ Y''(1) &= 6A_Y^{(n_1)} + 2B_Y^{(n_1)}, \\ Y'''(1) &= 6A_Y^{(n_1)}, \\ C_1'(1) &= [X'(1), Y'(1)], \\ C_1''(1) &= [X''(1), Y''(1)], \\ C_1'''(1) &= [X'''(1), Y'''(1)]. \end{aligned} \quad (9)$$

Полученные в (9) значения производных приравниваем значениям производных в начальной точке 2-й секции, для которой $U = 0$, т. е. потребуем, чтобы выполнялись равенства

$$\begin{aligned} C_1'(1) &= C_2'(0), \\ C_1''(1) &= C_2''(0), \\ C_1'''(1) &= C_2'''(0). \end{aligned} \tag{10}$$

Теперь рассмотрим первый сегмент 2-й секции. Для кубического B -сплайна он определён четырьмя базисными функциями $N_{0,3}(U)$, $N_{1,3}(U)$, $N_{2,3}(U)$, $N_{3,3}(U)$ и четырьмя векторами контрольных точек $\vec{P}_0, \vec{P}_1, \vec{P}_2, \vec{P}_3$, т. е.

$$\vec{C}_2(U) = \sum_{i=0}^3 N_{i,3}(U) \vec{P}_i, \quad U \in (0, U_4). \tag{11}$$

Учёт производных при отыскании аппроксимирующей кривой 2-й секции потребует увеличения размерности узлового вектора и добавления контрольных точек. При учёте всех трёх производных окажется, что первый сегмент 2-й секции полностью определён значениями производных, полученных в (10) и дополнительными узлами узлового вектора, вводимыми для учёта производных. Покажем, что значения векторов $\vec{P}_1, \vec{P}_2, \vec{P}_3$ могут быть определены через $\vec{P}_0, C_2'(0), C_2''(0), C_2'''(0)$

Для этого базисные функции $N_{i,3}(U)$ запишем в виде

$$N_{i,3}(U) = a_i U^3 + b_i U^2 + c_i U + d_i. \tag{12}$$

Тогда для $\vec{C}_2(U)$ из (11) получим

$$\vec{C}_2(U) = \sum_{i=0}^3 (a_i U^3 + b_i U^2 + c_i U + d_i) \vec{P}_i. \tag{13}$$

Последовательно применяя рекуррентное соотношение

$$N_{i,p}(U) = \frac{U - U_i}{U_{i+p} - U_i} N_{i,p-1}(U) + \frac{U_{i+p+1} - U}{U_{i+p+1} - U_{i+1}} N_{i+1,p-1}(U), \tag{14}$$

для базисных функций $N_{i,3}(U)$ 1-го сегмента, получим

$$\begin{aligned} N_{0,3}(U) &= a_0 U^3 + b_0 U^2 + c_0 U + d_0, \\ N_{1,3}(U) &= a_1 U^3 + b_1 U^2 + c_1 U, \\ N_{2,3}(U) &= a_2 U^3 + b_2 U^2, \\ N_{3,3}(U) &= a_3 U^3, \quad U \in (0, U_4). \end{aligned} \tag{15}$$

Если число узлов узлового вектора 2-й секции n_2 , то узловой вектор запишется в виде

$$U = \{0, 0, 0, 0, U_4, U_5, U_6, \dots, U_{n_2}, 1, 1, 1, 1\}, \tag{16}$$

Тогда, используя (12), (14), (15) и (16), имеем

$$\begin{aligned} a_0 &= -\frac{1}{U_4^3}, & b_0 &= \frac{3}{U_4^2}, & c_0 &= -\frac{3}{U_4}, & d_0 &= 1. \\ a_1 &= \frac{1}{U_4^3} + \frac{1}{U_4^2 U_5} + \frac{1}{U_4 U_5^2}, & b_1 &= -\frac{3}{U_4^2} - \frac{3}{U_4 U_5}, & c_1 &= \frac{3}{U_4}, & d_1 &= 0. \\ a_2 &= -\frac{1}{U_4^2 U_5} - \frac{1}{U_4 U_5^2} - \frac{1}{U_4 U_5 U_6}, & b_2 &= \frac{3}{U_4 U_5}, & c_2 &= 0, & d_2 &= 0. \\ a_3 &= \frac{1}{U_4 U_5 U_6}, & b_3 &= 0, & c_3 &= 0, & d_3 &= 0. \end{aligned} \tag{17}$$

Из (13) при $U = 0$ получаем

$$\vec{C}_2(0) = d_0 \vec{P}_0 = \vec{P}_0.$$

Продифференцировав (13) по U и учитывая значения c_0 и c_1 из (17), получаем

$$\vec{C}_2'(0) = -\frac{3}{U_4} \vec{P}_0 + \frac{3}{U_4} \vec{P}_1.$$

Отсюда

$$\vec{P}_1 = \vec{P}_0 + \frac{U_4}{3} \vec{C}_2'(0). \quad (18)$$

Этот результат совпадает с известным из общей теории дифференцирования B -сплайн функций [3, 3].

Взяв вторую производную от (13) по U и используя соотношения (15) для $\vec{C}_2''(0)$ имеем

$$\vec{C}_2''(0) = 2b_0 P_0 + 2b_1 P_1 + 2b_2 P_2.$$

С учётом b_i из (17) для \vec{P}_2 получим

$$\vec{P}_2 = \frac{U_4 U_5}{6} \vec{C}_2''(0) + \left(1 + \frac{U_5}{U_4}\right) \vec{P}_1 - \frac{U_5}{U_4} \vec{P}_0. \quad (19)$$

Взяв третью производную от (13), имеем:

$$\vec{C}_2'''(U) = 6 \sum_{i=0}^3 a_i P_i.$$

Учтя значение a_i из (17) для \vec{P}_3 получим:

$$\vec{P}_3 = \frac{U_4 U_5 U_6}{6} \vec{C}_2'''(0) + \frac{U_5 U_6}{U_4^2} (\vec{P}_0 - \vec{P}_1) + \left(\frac{U_6}{U_4} + \frac{U_6}{U_5}\right) (\vec{P}_2 - \vec{P}_1) + \vec{P}_2$$

Таким образом, показана принципиальная возможность сопряжения кубических B -сплайнов по трём производным.

Практически необходимо принять во внимание два обстоятельства.

Первое. Кубический B -сплайн имеет непрерывность C^2 , и на границах сегментов внутри сплайна третья производная претерпевает разрыв. Поэтому добиваться сопряжения двух кубических B -сплайнов по 3-й производной бессмысленно.

Второе. Сопряжение B -сплайнов по 1-й и 2-й производным предопределяет положение векторов \vec{P}_1 и \vec{P}_2 , которые будут исключены из процедуры оптимизации при построении аппроксимирующей кривой. Это означает, что точность аппроксимации может ухудшиться и возможны ситуации, когда заданная точность не достигается.

Теперь вернёмся к изменениям и дополнениям алгоритма аппроксимации с учётом необходимости сопряжения секций по 1-й и 2-й производным. Пусть 2-я секция должна охватывать массив точек $\{Q_k\}$, $k = 0, 1, \dots, m_2$, заданы степень аппроксимирующей кривой p и точность аппроксимации δ , выбрано число контрольных точек первой итерации n_2 , заданы значения $\vec{C}_2'(0)$ и $\vec{C}_2''(0)$.

1. Операции первого шага алгоритма остаются без изменений, т. е. величины \vec{U}_k рассчитываются по соотношениям (5).

2. Вспомогательный параметр h рассчитывается из выражения (6) для расчёта узлового вектора

$$h = \frac{m2 + 1}{n2 - p + 1 + q_1 + q_2},$$

где

$$q_1 = \begin{cases} 1, & \text{есть сопряжение по 1-й производной} \\ 0, & \text{нет сопряжения по 1-й производной,} \end{cases}$$

$$q_2 = \begin{cases} 1, & \text{есть сопряжение по 2-й производной} \\ 0, & \text{нет сопряжения по 2-й производной.} \end{cases}$$

Параметры α_j , определяющие внутренние узлы узлового вектора

$$\alpha_j = jh - i, \quad I = \text{int}(jh), \quad j = 1, \dots, n - p + q_1 + q_2.$$

Внутренние узлы узлового вектора

$$U_{j+p} = (1 - \alpha_j)\bar{U}_{i-1} + \alpha_j\bar{U}_i.$$

Узловой вектор имеет вид

$$U = \left\{ \underbrace{0, 0, \dots, 0}_{p+1}, U_{p+j}, \dots, U_{n_2+q_1+q_2}, \underbrace{1, 1, \dots, 1}_{p+1} \right\}.$$

3. Вычисляются значения базисных функций

$$N_{i,p}(\bar{U}_k), \quad i = 0, \dots, n_2 + q_1 + q_2, \quad k = 0, \dots, m_2.$$

4. Вычисляются векторы \bar{P}_1 и \bar{P}_2 по соотношениям (18) и (19) соответственно.

5. Вычисляются векторы \bar{R}_k с учётом того, что \bar{P}_1 и \bar{P}_2 должны быть исключены из процедуры оптимизации

$$\bar{R}_k = \bar{Q}_k - N_{0,p}(\bar{U}_k)P_0 - q_1 N_{1,p}(\bar{U}_k)P_1 - q_2 N_{2,p}(\bar{U}_k)P_2 - N_{n_2+q_1+q_2,p}(\bar{U}_k)\bar{Q}_{m_2},$$

$$k = 1 + q_1 + q_2, \dots, m_2 - 1.$$

6. Система уравнений (7) приобретает следующий вид

$$\begin{pmatrix} (1-q_1)\bar{P}_1 \\ (1-q_2)\bar{P}_2 \\ \bar{P}_3 \\ \bar{P}_{n_2-1+q_1+q_2} \end{pmatrix} \times \begin{pmatrix} (1-q_1)A_{11} & (1-q_1)A_{12} & \dots & (1-q_1)A_{1,n_2-1+q_1+q_2} \\ (1-q_1)A_{21} & (1-q_2)A_{22} & \dots & (1-q_2)A_{2,n_2-1+q_1+q_2} \\ (1-q_1)A_{31} & (1-q_2)A_{32} & \dots & A_{3,n_2-1+q_1+q_2} \\ (1-q_1)A_{n_2-1+q_1+q_2,1} & (1-q_2)A_{n_2-1+q_1+q_2,2} & \dots & A_{n_2-1+q_1+q_2,n_2-1+q_1+q_2} \end{pmatrix} = \begin{pmatrix} (1-q_1)\bar{B}_1 \\ (1-q_2)\bar{B}_2 \\ \bar{B}_3 \\ \bar{B}_{n_2-1+q_1+q_2} \end{pmatrix},$$

где

$$A_{l,i} = \sum_{k=1}^{m_2-1} N_{l,p}(\bar{U}_k)N_{i,p}(\bar{U}_k), \quad \bar{B}_l = \sum_{k=1}^{m_2-1} N_{l,p}(\bar{U}_k)\bar{R}_k,$$

$$l = 1 + q_1 + q_2, \dots, n_2 + q_1 + q_2 - 1, \quad i = 1 + q_1 + q_2, \dots, n_2 + q_1 + q_2 - 1..$$

В результате решения системы определяются векторы контрольных точек, образующие контрольный полигон. Дальнейшие шаги остаются прежними. Рассмотренная схема пригодна и для вычислений при отсутствии сопряжения по производной. В этом случае параметры $q_1 = 0$ и $q_2 = 0$ и схема приобретает вид, изложенный для 1-й секции.

Приведём пример, иллюстрирующий изложенные положения.

Пусть заданный массив точек

$$\{Q_k\} = \{(0,0), (50,310), (100,440), (200,600), (400,800), (600,900), (700,950), \\ (800,980), (900,990), (1000,1000), (1100,990), (1200,980), (1300,950), \\ (1400,900), (1600,800), (1800,600), (1900,440), (1950,310), (2000,0)\}$$

разбит на 2 секции:

1-я секция – 10 точек от (0,0) до (1000,1000);
 2-я секция – 10 точек от (1000,1000) до (2000,0).

Точка $\bar{Q}_9(1000,1000)$ – общая точка двух секций, и в ней должно быть получено сопряжение по 1-й и 2-й производным.

Пусть для первой итерации при построении аппроксимирующей кривой 1-й секции принято $n = 3$ (т. е. $n + 1 = 4$ – контрольные точки), $p = 3$, заданная точность аппроксимации $\delta \leq 10$.

1. Рассчитываем параметры \bar{U}_k по (5)

$$\begin{aligned} \bar{U}_0 = 0, \quad \bar{U}_1 = 0,2, \quad \bar{U}_2 = 0,29, \quad \bar{U}_3 = 0,41, \quad \bar{U}_4 = 0,59, \\ \bar{U}_5 = 0,73, \quad \bar{U}_6 = 0,8, \quad \bar{U}_7 = 0,87, \quad \bar{U}_8 = 0,94, \quad \bar{U}_9 = 1. \end{aligned}$$

2. Параметры

$$h = \frac{m+1}{n-p+1} = 10, \quad i = \text{int}(jh), \quad j = 1, \quad n - p = 0.$$

Узловой вектор не имеет внутренних узлов

$$U = (0, 0, 0, 0, 1, 1, 1, 1)$$

Базисные функции 3-й степени будут иметь выражения

$$\begin{aligned} N_{0,3}(U) &= -U^3 + 3U^2 - 3U + 1, \\ N_{1,3}(U) &= 3U^3 - 6U^2 + 3U, \\ N_{2,3}(U) &= -3U^3 + 3U^2, \\ N_{3,3}(U) &= U^3. \end{aligned} \quad U \in (0, 1)$$

Далее вычисляем значения базисных функций в точках $\bar{U}_k, k = 1, \dots, 8$, рассчитываем векторы \bar{R}_k , коэффициенты A_{ij} , векторы \bar{B}_i и записываем систему уравнений. В данном случае контрольный полигон составляют векторы $\bar{P}_0 = \bar{Q}_0, \bar{P}_1, \bar{P}_2, \bar{P}_3 = \bar{Q}_9$. Подлежат определению векторы \bar{P}_1 и \bar{P}_2 . Система уравнений имеет вид:

$$\begin{pmatrix} \bar{P}_1 \\ \bar{P}_2 \end{pmatrix} \times \begin{pmatrix} A_{11} & A_{12} \\ A_{21} & A_{22} \end{pmatrix} = \begin{pmatrix} \bar{B}_1 \\ \bar{B}_2 \end{pmatrix}.$$

Вычисляем

$$\begin{aligned} A_{11} &= \sum_{k=1}^8 N_{1,3}(\bar{U}_k)N_{1,3}(\bar{U}_k) = 0,6490, & A_{12} &= \sum_{k=1}^8 N_{1,3}(\bar{U}_k)N_{2,3}(\bar{U}_k) = 0,4911, \\ A_{21} &= \sum_{k=1}^8 N_{2,3}(\bar{U}_k)N_{1,3}(\bar{U}_k) = 0,4911, & A_{22} &= \sum_{k=1}^8 N_{2,3}(\bar{U}_k)N_{2,3}(\bar{U}_k) = 0,7596, \\ \bar{B}_1 &= \sum_{k=1}^8 N_{1,3}(\bar{U}_k)\bar{R}_k = (222,532, 842,852), & \bar{B}_2 &= \sum_{k=1}^8 N_{2,3}(\bar{U}_k)\bar{R}_k = (356,476, 1625,706). \end{aligned}$$

Расчёты сведены в таблицу

Результаты расчётов В-сплайн аппроксимации для первой секции

№ т.	\bar{U}_k	$N_{0,3}$	$N_{1,3}$	$N_{2,3}$	$N_{3,3}$	$\Sigma N_{i,3}$	\bar{Q}_k	\bar{R}_k	$\bar{C}(\bar{U}_k)$	ε_k
0	0	1,0	–	–	–	1,00	0,0	–	0, 0	0
1	0,2	0,512	0,384	0,096	0,008	1,00	50,310	42,302	45,3, 312	9,3
2	0,29	0,358	0,439	0,179	0,024	1,00	100,440	76,416	100,3, 440,9	0,94
3	0,41	0,205	0,428	0,298	0,069	1,00	200,600	131,531	263,3, 599	3,4
4	0,59	0,069	0,298	0,428	0,205	1,00	400,800	195,595	405,4, 794,5	7,7
5	0,73	0,02	0,16	0,432	0,388	1,00	600,900	312,512	593,7, 906,7	9,2
6	0,8	0,008	0,096	0,384	0,512	1,00	700,950	188,438	695,9, 948	4,1
7	0,87	0,002	0,044	0,295	0,659	1,00	800,980	141,321	801, 977,9	2,4
8	0,94	$2 \cdot 10^{-4}$	0,01	0,159	0,831	1,00	900,990	69,159	907,9, 995,4	9,6
9	1,0	–	0,00	–	1,00	1,00	1000,1000	–	1000, 1000	0

Решение системы уравнений даст

$$\vec{P}_1 = (-24,542), \quad \vec{P}_2 = (485,1000).$$

Контрольный полигон

$$\{\vec{P}_i\} = \{(0,0), (-24,542), (485,1000), (1000,1000)\}.$$

Из таблицы видно, что заданная точность достигается при 1-й итерации.

При полученном контрольном полигоне выражения координат представляются в виде полиномов

$$X(U) = 527U^3 + 1599U^2 - 721U, \quad Y(U) = -374U^3 - 252U^2 + 1626U, \quad U \in (0,1).$$

Значение производных в точке \bar{Q}_9 , (т. е. при $U = 1$)

$$\begin{aligned} X'(1) &= 1545, & Y'(1) &= 0, \\ X''(1) &= 36, & Y''(1) &= -2748. \end{aligned}$$

Тогда для начальной точки второй секции принимаем

$$C_2'(0) = (1545,0), \quad C_2''(0) = (36, -2748).$$

Вторая секция. Возьмём для первой итерации $n = 3$. С учётом требования сопряжения по 1-й и 2-й производным получим $n + q_1 + q_2 = 5$ и контрольный полигон будет иметь 6 точек. Из них заданы $\vec{P}_0 = \bar{Q}_9$, $\vec{P}_5 = \bar{Q}_{18}$. По значениям \vec{P}_0 , $C_2'(0)$, $C_2''(0)$ и узловому вектору второй секции определяются векторы \vec{P}_1 , \vec{P}_2 . Остаются неизвестными векторы \vec{P}_3 , \vec{P}_4 .

Находим значение параметра

$$h = \frac{m+1}{n-p+3} = \frac{10}{3}.$$

Определяем внутренние узлы узлового вектора, т. к. $j = 1, 2$, $\alpha_1 = 1/3$, $\alpha_2 = 2/3$ узловой вектор

$$U = (0, 0, 0, 0, 0,15, 0,53, 1, 1, 1, 1).$$

Рассчитываем по (18) и (19) векторы \vec{P}_1 , \vec{P}_2 соответственно

$$\begin{aligned} \vec{P}_1 &= (1077, 1000), \\ \vec{P}_2 &= (1351, 964). \end{aligned}$$

Рассчитываем значения базисных функций $N_{i,3}(\bar{U}_k)$, $i = 0, \dots, 5$, $k = 1, \dots, 8$, векторы \vec{R}_k ($k = 1, \dots, 8$) и \vec{B}_l ($k = 3, 4$), составляем систему уравнений

$$\begin{vmatrix} \bar{P}_3 \\ \bar{P}_4 \end{vmatrix} \times \begin{vmatrix} A_{33} & A_{34} \\ A_{43} & A_{44} \end{vmatrix} = \begin{vmatrix} \bar{B}_3 \\ \bar{B}_4 \end{vmatrix}$$

Получим

$$\bar{P}_3 = (1834, 684),$$

$$\bar{P}_4 = (2005, 251).$$

Далее вычисляем значения сплайна в точках \bar{U}_k и определяем отклонения этих точек от \bar{Q}_k . Опуская расчёты, укажем лишь, что при определении векторов \bar{R}_k следует использовать выражение

$$\begin{aligned} \bar{R}_k = \bar{Q}_k - N_{0,3}(\bar{U}_k)\bar{P}_0 - N_{1,3}(\bar{U}_k)\bar{P}_1 \\ - N_{2,3}(\bar{U}_k)\bar{P}_2 - N_{5,3}(\bar{U}_k)\bar{Q}_{18}, \quad k = 3, \dots, 8. \end{aligned}$$

Эти же пределы изменения k берутся при расчёте коэффициентов A_{li} и векторов \bar{B}_j . В итоге получаем, что заданная точность аппроксимации выполняется во всех точках $\bar{C}(\bar{U}_k)$, кроме одной: $\varepsilon_4 = |\bar{Q}_4^{(2)} - \bar{C}(\bar{U}_4)| = 12,8$, $\bar{U}_4 = 0,266$.

Если критически важно получение точности $\varepsilon_k \leq 10$ и в этой точке, то следует взять $n = 4$ и выполнить ещё одну итерацию. При этом получим $h = 4/10, j = 1, 2, 3$, узловой вектор будет иметь 3 внутренних узла, изменится положение векторов \bar{P}_1, \bar{P}_2 , контрольный полигон составят 7 контрольных точек, из которых $\bar{P}_0, \bar{P}_1, \bar{P}_2, \bar{P}_6$ определены, а $\bar{P}_3, \bar{P}_4, \bar{P}_5$ будут определены в результате оптимизации.

В заключение приведём график аппроксимирующей кривой (рис. 1), графики первых производных $X'(U), Y'(U)$ для 1-й и 2-й секций (рис. 2) и графики вторых производных $X''(U), Y''(U)$ для 1-й и 2-й секций (рис. 3).

Выводы

1. Показано, что в практике ЧПУ существует необходимость сопряжения сплайн-кривых, образованных при аппроксимации больших кусочно-линейных массивов данных.

2. Отмечено, что для сохранения неизменных величин скорости и ускорения при переходе с одной сплайн-кривой на другую требуется сопряжение сплайнов по 1-й и 2-й производным.

3. Получены соотношения, позволяющие вычислить точки контрольного полигона сопрягающегося сплайна, обеспечивающие сохранение значений 1-й и 2-й производных в точке сопряжения.

4. Разработаны дополнения к общему методу В-сплайн аппроксимации с учётом обеспечения непрерывности C^2 при сопряжении кубических В-сплайн кривых.

Работоспособность разработанного метода проиллюстрирована примером.

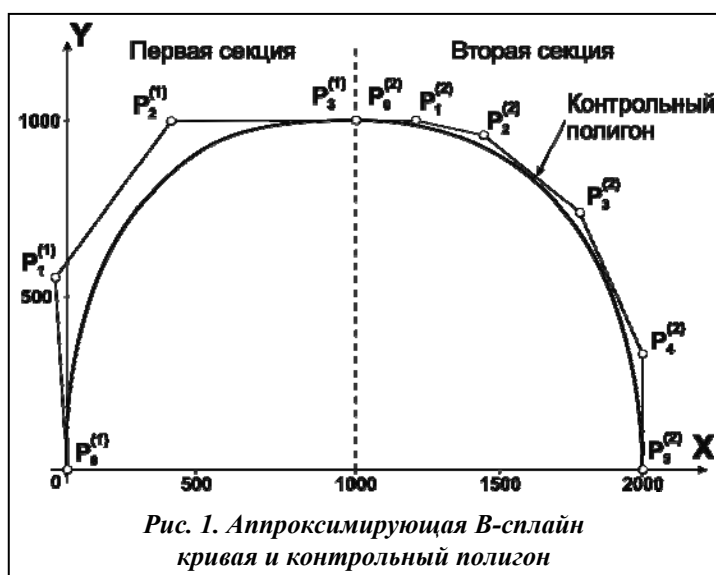


Рис. 1. Аппроксимирующая В-сплайн кривая и контрольный полигон

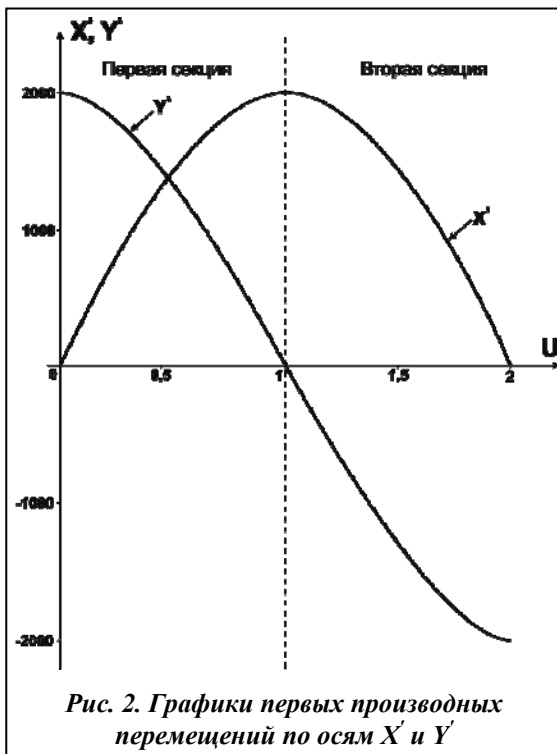


Рис. 2. Графики первых производных перемещений по осям X' и Y'

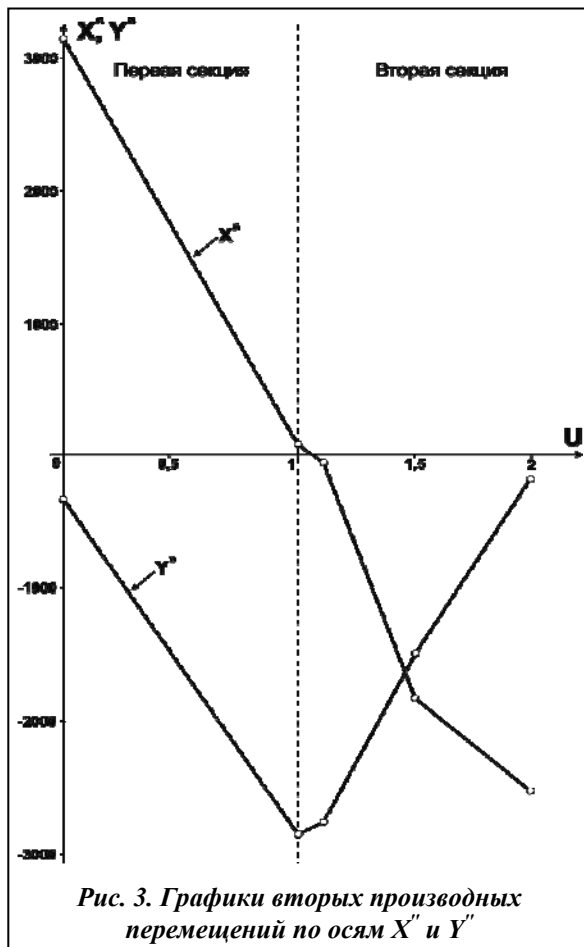


Рис. 3. Графики вторых производных перемещений по осям X'' и Y''

Литература

1. *Sinumeric 840D/840Di/810D* Руководство по программированию. Расширенное программирование. – SIEMENS. – 2001. – 650 с. Также доступен в <http://www.siemens.com>.
2. *GE Fanuc Automation. Series 16i/160i/160is-MB. Series 18i/180i/180is-MB5. Operator's Manual.* – Fanuc. – 2002. – 1257 p. Также доступен в <http://www.fanuc.com>
3. *PC-based Controller with Real-time Look-ahead NURBS Interpolator* [Text] / H. T. Yau1, J. B. Wang, C. Y. Hsu, C. H. Yeh // *Computer-Aided Design & Applications.* – 2007. – Vol. 4. – № 1–4. – P. 331–340.
4. *Piegle L. The NURBS book* [Text] / L. Piegle, W. Tiller. – Berlin, Heidelberg, New York: Springer. – 1997. – 578 p.
5. *Раисов Ю. А. В-сплайн интерполяция для двухуровневых систем ЧПУ* [Текст] / Ю. А. Раисов, И. В. Бычков, П. А. Кулаков // *Інформаційно-керуючі системи на залізничному транспорті.* – 2008. – №5–6. – С. 71–74.

Поступила в редакцию
02.03.12